近日,一条网络热搜映入了许多网友的眼帘——把智能手表和高铁车窗放在一起,手表会拿不下来。这一新闻引起了众多好奇宝宝的关注,不断有人尝试,结果他们都为之付出了惨痛的教训。手表玻璃为何会紧紧粘在高铁玻璃上?本文将为大家详细揭示这一现象背后的奥秘。



你知道什么是光胶吗

作者: Optimus; Email: 245117229@qq.com



○【图 1】手表贴到高铁车窗上(图片来源于360个人图书馆)

1. 玻璃特性

要想知道手表玻璃为什么 会吸到高铁玻璃上,我们首先要 搞清楚手表玻璃和高铁玻璃的

特性。

1.1 手表玻璃的特性

手表玻璃的材质有多种, 材质

不同优缺点也不同,表1列出了多种材质的优缺点,这些材质的选择,使得手表玻璃在保持美观的同时,具备了一定的耐磨性和硬度。

表 1 手表玻璃的介绍

材质	描述	优点	缺点
有机玻璃 ^[1] (亚 克力)	具有良好的弹性和不易碎裂的特点,质量 上乘的有机玻璃会散发出特殊的光晕,质 感十足	弹性好,不易 碎裂,有特殊 光晕	硬度低,易磨花,会老化
普通玻璃 [2]	由硅酸钠和二氧化硅构成,硬度适中。通 过添加辅助矿物或特殊工艺,可以显著提 升玻璃的硬度等机械性能	成本低,硬度 适中,可通过 工艺提升性能	硬度相对较低,易受损
人造水晶 [3]	理论上存在,因此并不常见	品种多样	制造成本相对高,硬度不 如高级玻璃
人造刚玉 ^[4] (蓝 宝 石 水 晶 玻 璃)	极硬的材质,莫氏硬度高达 9,仅次于金刚石。高端手表常采用此材质,其表面张力大,滴水不散,耐磨性能优异	极 硬, 耐 磨, 表面张力大	成本较高
镀膜玻璃 ^[5]	通过溅射法在玻璃表面镀上一层刚玉薄 膜,增加表面耐磨性和张力,成本适中, 性能接近人造刚玉	成本适中,耐 磨性接近人造 刚玉,表面张 力大	成本较高

1.2 高铁玻璃的特性

高铁玻璃作为一种特种玻璃,具有独特的性能,以适应高速列车运行时的复杂环境 ⁶¹。其主要特性包括:高铁玻璃采用钢化玻璃材料,经过特殊处理后,具有高强度、高抗压强度和高抗冲击性能;高铁玻璃具有较高的抗热性能,能够承受高速行驶时产生的大量热量;高铁玻璃采用多层复合结构,能够有效防止玻璃破裂时产生的碎片伤害,透光性好且保障乘客安全。

2. 光胶现象

手表玻璃与高铁玻璃之间的 粘合,主要是由于光胶现象导致 的。光胶现象是一种物理现象,发 生在两个光滑表面紧密接触时。光 胶现象的成因在于分子间的相 互作用力。当两个物体表面非常光 滑时,它们之间的空气可以被挤 出,使得两个表面直接接触。当表 面分子间的距离减小到纳米级 时,分子之间由于电磁作用而相互 吸引,这种吸引力在很大程度上还 表现为范德华力。力随着分子间距 离的减小而增大,因此当物体表面 足够光滑时,这种吸引力会变得非 常强大,使得两个物体紧密结合在 一起 [7]。

手表玻璃通常采用高硬度的 材质,如蓝宝石水晶玻璃或镀膜玻璃。这些材质经过精密加工和抛



○【图 2】玻璃间的光胶现象(图片来源于阿里 1688)

光后,表面非常光滑。高铁玻璃作为特种玻璃,同样具有极高的光滑度。其表面经过特殊处理,以确保良好的透光性和美观性。手表玻璃和高铁玻璃都是高度抛光的表面,具有极高的光滑度。因此,当它们紧密接触时,很容易发生光胶现象。

3. 光胶现象最怕什么

虽然手表玻璃与高铁玻璃的 粘合是一种物理现象,但我们可以 采取一些措施来避免其发生。最 简单有效的方法是避免手表玻璃 与高铁玻璃紧密接触。在乘坐高铁 时,可以将手表放在手提包或丧 物口袋中,以避免与车窗直接关 触;如果需要在高铁上使用手 表,可以在手表玻璃表面贴上保 护膜。这层保护膜可以增加手表 玻璃表面的粗糙度,降低其与高铁 玻璃之间的粘合作用。

如果你的手表不幸被高铁玻璃粘住了,可以尝试轻轻旋转手表,通过改变接触面的角度和位

置,逐步减弱分子间的贴合力; 利用细线或头发丝等细小物体, 在手表与玻璃之间轻轻来回拉动, 以产生微小的空隙,从而破坏分子 间的紧密接触;或者在手表边缘轻 轻吹气或使用少量水,让空气或水 分子进入接触面之间,从而减小分 子间的吸引力;也可以用杯子盛装 热水,然后用"热杯子"罩住吸在 玻璃上的手表,由于温度升高, 分子间的运动加剧,可能会减小手 表面与高铁玻璃表面之间的吸引 力,从而更容易将手表取下。

4. 光胶现象的其他应用

光胶是一种高精度的光学零件装校工艺,基于光学零件表面间分子力的作用使两个光学零件紧密结合在一起。在平面光学元件的制造过程中,光胶可充当临时固定连接的手段,并且在制造完成后可以拆除。像两个有着很高表面平行度的平板、屋脊棱镜、分束镜滤光片、玻璃样板、光学平板以及三垂面反射镜等光学元件的制造都会涉及这一过程。光胶和胶合工艺有

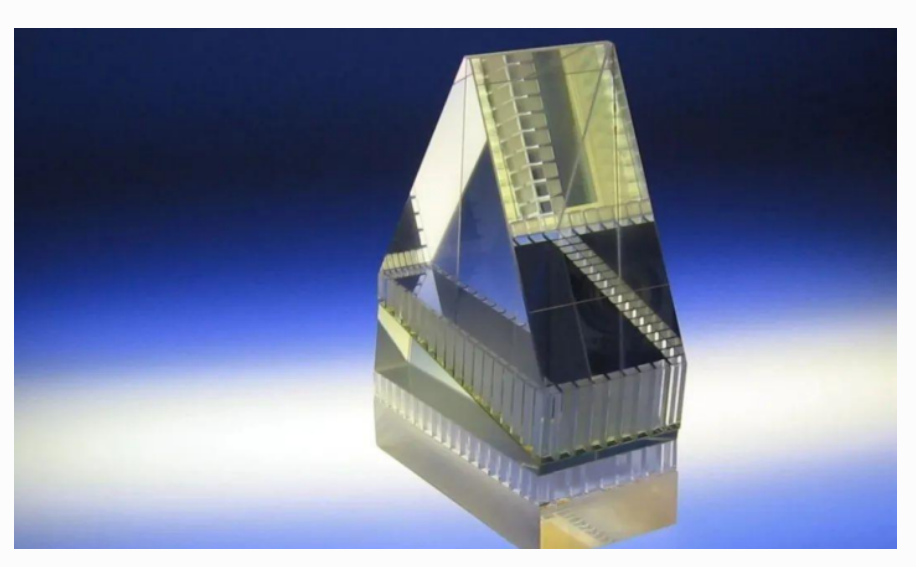
着相似的目的,特别是在精密光学系统里,光胶工艺常常被用于连接光学表面,并且这种连接是长期性的。不过,与胶合工艺不同的是,光胶并不需要使用粘结剂,它是以分子力或者附着力效应作为基础的。当由于楔形和胶层公差等因素,胶合工艺难以达到特别精密的粘合要求时,就可以对零件采用光胶的方法。

光胶生产的单片多普勒不对 称空间外差干涉仪是一种高精度 的光学测量仪器,它采用了外差 干涉技术,结合了多普勒效应, 能够在复杂环境中提供高精度的 测量结果。该干涉仪使用两种不 同频率的单色光作为测量光束和 参考光束。通过光电探测器的混 频,输出差频信号,这个信号包 含了被测物体的变化信息,如位 移、振动和转动等引起的光波相 位变化或多普勒频移, 具体如 图 3 所示。这些信息被载于稳定 的差频上,因此能够避过激光器 的低频噪声和半导体器件的噪声 区,提高光电信号的信噪比[7]。

单片多普勒不对称空间外差 干涉仪的优点在于其高精度和强 抗干扰能力。由于采用了外差干 涉技术,它能够测量较长距离, 且在光强衰减较大的情况下仍能 正常工作。此外,该干涉仪可以 直接从输出频率相对于差频的增 减判别运动的方向,因此能够测量物体的连续变化过程,如随机振动波形、气流扰动随时间变化过程等。

利用光胶生产的单片消色差零位干涉日冕仪是一种高精度的 光学仪器,旨在观测和分析太阳 的日冕结构(图 4)。该仪器采 用消色差技术,能够消除色差,使得观测结果更加准确和清晰。

光胶技术使得单片消色差零位 干涉日冕仪的结构更加紧凑和稳 定。通过利用分子力将两个清洁 的抛光表面紧密胶结在一起,光 胶技术能够提供高精度的光学接 触^[8],从而确保干涉仪的精度和



●【图 3】利用光胶生产的单片多普勒不对称空间外差干涉仪(图片来源于知平)



○【图 4】利用光胶生产的单片消色差零位干涉日冕仪,可以直接探测附近的类 木星系外行星(图片来源于知乎)

稳定性。单片消色差零位干涉日 冕仪利用干涉原理来观测日冕。 当太阳光通过仪器时,它会被分 成两束光,一束作为参考光,另 一束则通过日冕后被接收。两束 光在仪器内部发生干涉,形成干 涉条纹。这些干涉条纹包含了日 冕的信息,通过分析这些信息, 可以获得日冕的结构和特性。

利用光胶生产的 35 mm 宽的 迈克尔逊干涉仪是一种高精密的 光学仪器,它基于干涉原理工作,具有广泛的应用领域。这款干涉仪的宽度为 35 mm,结构紧凑而稳定。其关键部件采用了光胶技术,即将两个清洁的抛光表面通过分子力紧密地胶结在一起(图 5),以确保高精度的光学接触 ^[9]。这种技术不仅提高了干涉仪的精度和稳定性,还使得仪器更加耐用和可靠。



○【图 5】利用光胶生产的 35mm 宽的迈克尔逊干涉仪(图片来源于知平)

迈克尔逊干涉仪通过分振幅 法产生双光束以实现干涉,能够 精确地测量光程差。当光线经过 分光镜被分为两束后,它们被对 应的平面镜反射回来,并在观察 区域形成干涉条纹。这些干涉条 纹的形态和位置取决于光程差, 因此可以通过分析干涉条纹来测 量长度、折射率等物理量。

5. 结论与展望

手表玻璃与高铁玻璃之间的 粘合现象是由于光胶现象导致 的。未来,随着科技的不断发展, 我们可以期待在光胶现象的研究 和应用方面取得更多的突破。例 如,可以进一步探索光胶现象的机 理和影响因素,以提高其在光学仪 器制作、超精密加工和真空密封等 领域的应用效果。同时,也可以研 究如何更有效地避免光胶现象在 日常生活和工作中的不利影响。

参考文献

- [1] 司瑞. 有机玻璃的生产与发展[J]. 化工新型材料, 1995(7): 23-26.
- [2] 王承遇, 李松基, 陶瑛, 等. 玻璃的发展历程及未来趋势(连载一)[J]. 玻璃, 2010, 37(4): 3-12.
- [3] 茅忠明, 罗静舟. 水热温差法生长人造水晶及其过程控制[J]. 上海机械学院学报, 1994(3): 95-98.
- [4] 张长江. 试析影响手表宝石元件压钻不破碎率的原因[J]. 钟表, 1994(2): 32-34.
- [5] 朱晓岗, 黄艳萍, 黄文浩, 等. 光伏镀膜玻璃研究进展及发展趋势[J]. 硅酸盐通报, 2024, 43(4): 1211-1218.
- [6] 宋钱. 中国高铁的玻璃到底有多牛? [J]. 网印工业, 2021(9): 54-55.
- [7] Harlander J M, Englert C R, Babcock D D, et al. Design and laboratory tests of a doppler asymmetric spatial heterodyne (DASH) interferometer for upper atmospheric wind and temperature observations[J]. Opt Express, 2010, 18(25): 26430-40.
- [8] Rouan D, Baudrand J, Boccaletti A, et al. The four quadrant phase mask coronagraph and its avatars[J]. Comptes Rendus Phys, 2007, 8(3/4): 298-311.
- [9] Kolesnichenko P V, Wittenbecher L, Zigmantas D. Fully-symmetric dispersionless high-efficiency stable transmission-grating Michelson interferometer[J]. Opt Express, 2020, 28(25): 37752-37757.